

- 19) V. V. LEVITIN: Fizika Metall., 10 (1960) 2, p. 294
 20) R. M. GOLDHOFF and J. W. SPRETNAK: J. Metals, 9 (1957) 10, p. 1278
 21) 今井: 鉄と鋼, 51 (1965) 13, p. 2336
 22) J. POMEY: Rev. Metall., 47 (1950), p. 637, p. 727
 23) E. HOUDREMONT: "Handbuch der Sonderstahlkunde", Bd. I (1956), p. 338, [Springer-Verlag]
 24) 田中, 鈴木: 学振第123委員会報告, 8 (1967) 3, p. 435
 25) 岡本, 田中, 藤本: 学振第123委員会報告, 3 (1962) 1, p. 1
 26) H. WIEGAND and M. DORUK: Arch. Eisenhüttenw., 33 (1962) 8, p. 559
 27) F. N. RHINES, W. E. BOND and M. A. KISSEL: Trans. Amer. Soc. Metals, 48 (1956), p. 913
 28) 加藤: 日本金属学会誌, 30 (1966) 6, p. 546
 29) A. MERCIER and J. HOCHMANN: Rev. Metall., 59 (1962), p. 651
 30) G. HENRY, A. MERCIER, J. PLATEAU and J. HOCHMANN: Rev. Metall., 60 (1963), p. 1221
 31) 門間, 須藤, 早乙女, 根本: 日本金属学会誌, 29 (1965) 2, p. 191
 32) 門間, 須藤, 小北: 日本金属学会誌, 29 (1965) 10, p. 941
 33) J. M. HOPKIN: J. Iron Steel Inst., 203 (1965) 6, p. 583
 34) J. D. BAIRD: J. Iron Steel Inst., 205 (1967) 7, p. 718
 35) H. J. BEATTIE and F. L. VERSNYDER: Trans. Amer. Soc. Metals, 45 (1953), p. 397
 36) R. W. GUARD: "Mechanical Behaviour of Materials at Elevated Temperature", (1961), p. 270, [McGraw-Hill]
 37) R. L. FULLMAN: Trans. AIME, 197 (1953) 3, p. 447

25Cr-20Ni 耐熱鋼の高温強度におよぼす窒素と炭素の影響*

田 中 良 平**・鈴 木 功 夫***

The Effect of Nitrogen and Carbon on the High-Temperature Strength of 25Cr-20Ni Heat-Resisting Steel

Ryohei TANAKA and Isao SUZUKI

Synopsis:

The effect of addition of nitrogen up to 0.66%, of carbon up to 0.20%, and of nitrogen plus carbon on the creep rupture strength of 25Cr-20Ni heat-resisting steel was studied, and some strengthening mechanisms in this kind of steel due to the addition of nitrogen and carbon were discussed. The stress rupture strength of the steels at 700°C was improved remarkably with increasing amount of nitrogen up to 0.36%, above which the strength decreased due probably to a discontinuous precipitation of Cr₂N. Further improvement of the strength was obtained by combined addition of carbon and nitrogen, while the improvement with addition of carbon only was very small relative to that of nitrogen. It was deduced from the results that strengthening with addition of nitrogen may be attributed mainly to an action similar to the I-S effect (chemical interaction between interstitial atoms and substitutional atoms), which had been proposed for low alloy heat-resisting steels, and to the SUZUKI's effect, and in the case of addition of nitrogen plus carbon, dispersion hardening with carbide M₂₃C₆, in addition to above two mechanisms, may become also effective, since coagulation of the carbide retard by the coexisting nitrogen.

(Received 15 Dec. 1967)

1. 緒 言

筆者らはさきに 25%Cr-28%Ni を基本組成とする高級耐熱鋼の開発を企図し、とくにこの種の鋼に高圧窒素中溶解法¹⁾を適用して高濃度の窒素を含有せしめ、その高温特性を向上させようと試みた^{2)~4)}。そのさいの28%という Ni 含有量は通常の 25Cr-20Ni 鋼の σ 相生成を

防ぐために、20%Ni を 8% 増加させたものであるが、窒素を多量に含有せしめる場合は、その窒素によつて σ 生成が抑制される^{5)~7)}ので、Mo その他の σ 相生成を促

* 昭和42年10月本会講演大会にて発表

昭和42年12月15日受付

** 東京工業大学 工博

*** 富士製鉄(株)室蘭製鉄所

Table 1. Chemical composition of steels used. (%)

Mark	C	Si	Mn	P	S	Cr	Ni	N
ONOC	0.002	0.48	1.35	0.006	0.008	25.20	20.19	0.001
07NOC	0.002	0.87	1.47	0.006	0.006	25.56	20.15	0.072
17NOC	0.002	0.90	1.38	0.006	0.009	25.56	20.19	0.169
36NOC	0.002	0.98	2.46	0.001	0.010	25.24	19.50	0.363
66NOC	0.001	0.88	2.28	0.001	0.009	25.52	19.98	0.663
ON05C	0.051	0.86	1.50	0.007	0.009	25.38	20.15	0.010
ON20C	0.195	0.85	1.44	0.008	0.007	25.56	20.10	0.008
12N06C	0.058	0.89	1.42	0.007	0.007	25.84	20.00	0.115
18N06C	0.061	0.86	1.50	0.008	0.009	25.56	20.00	0.182
20N06C	0.057	0.82	1.50	0.007	0.009	25.60	20.00	0.195
27N06C	0.053	0.88	1.48	0.006	0.009	25.56	20.19	0.269

進する合金元素を多量に添加するのでなければ、必ずしも Ni 量を 28% に増加させる必要はないと考えられる。また 25Cr-20Ni 鋼はステンレス鋼および耐熱鋼としてかなり広く実用されている鋼種であるが、この鋼に対する高濃度の窒素の影響についてはこれまでほとんど研究発表をみない。そこで本研究ではこの 25Cr-20Ni 鋼に高圧窒素中溶解法を利用して約 0.66% までの N を含有せしめ、その高温強度におよぼす窒素量の影響をしらべるとともに、C の単独添加および C と N の組合せ添加の場合の高温強度と比較し、さらに組織との関連について若干の検討を試みた。

2. 試料および実験方法

高圧溶解炉およびこれによる溶解方法の詳細についてはすでに報告した¹⁾ので、ここには省略する。

溶解原料としては電解 Fe, 電解 Cr, 電解 Ni, 電解 Mn, 単体 Si, および木炭鉄を用い、前記溶解炉で 1 回約 5 kg ずつ溶製した。N, C を全く添加しない鋼種は真空中で、また N 添加の場合はその添加量に応じて雰囲気の N₂ 壓力を変えて溶解铸造を行なつた。一方、C 単独添加材は約 0.3 atm のアルゴン雰囲気中で溶製した。

各鋼塊は約 15 mm 角まで熱間鍛伸し、その後さらに必要に応じて若干の熱間圧延をほどこして以下の実験に供した。Table 1 は各試料の化学分析の結果を示す。記号は N %, および C % の小数点以下 2 衔の数字を用いて示してある。36NOC および 66NOC の 2 鋼種は N 濃度が高く、鍛造がやや困難であつたため、Mn を 2.5% 配合し、その他はすべて 1.5% Mn を配合した。

C 添加試料としては 0.05~0.06% C の鋼は JIS の SUS 42 に、また 0.20% C の鋼は SUH 33 に相当するものであり、N 添加の場合と比較するため溶製した。また C を通常の 0.05~0.06% に一定して N を増加させ

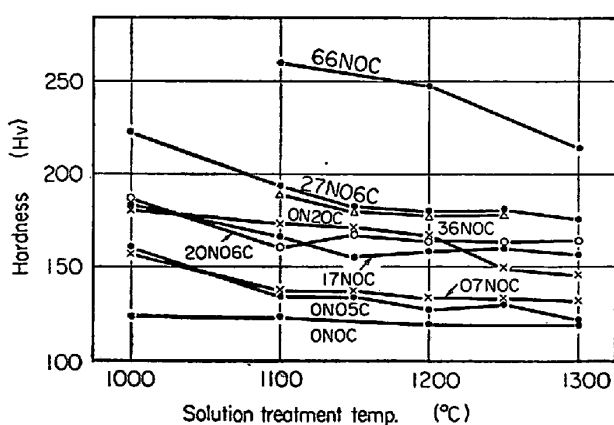
た N + C 系列 4 鋼種も溶製し、N と C の共存による影響を検討するのに利用した。

3. 実験結果

3.1 溶体化処理

各試料の溶体化温度と硬さとの関係を Fig. 1 に示す。66NOC および ON20C の 2 鋼種を除いて、ほかはすべて 1,150°C 以上ではもはや硬さはほとんど変化せず、組織的にも 1150°C で溶体化はほぼ十分と考えられた。ON20C は光顯組織では 1200°C ではほぼ溶体化されているようにみられたが、後述の X 線による格子定数測定の結果から、1200°C × 1hr ではなお若干の未固溶炭化物が残存すると推定され、硬さの上でも Fig. 1 にみると 1250°C でやや急減するのがわかる。また 66NOC は 1200°C ではなお明らかに未溶解窒化物が残つており、1300°C でほぼ完全に固溶するようである。

このように、N および C の含有量によって溶体化に必要な温度は異なるが、以下の実験では便宜上、全試料につき溶体化処理を 1200°C × 1hr 加熱水冷に一定した。



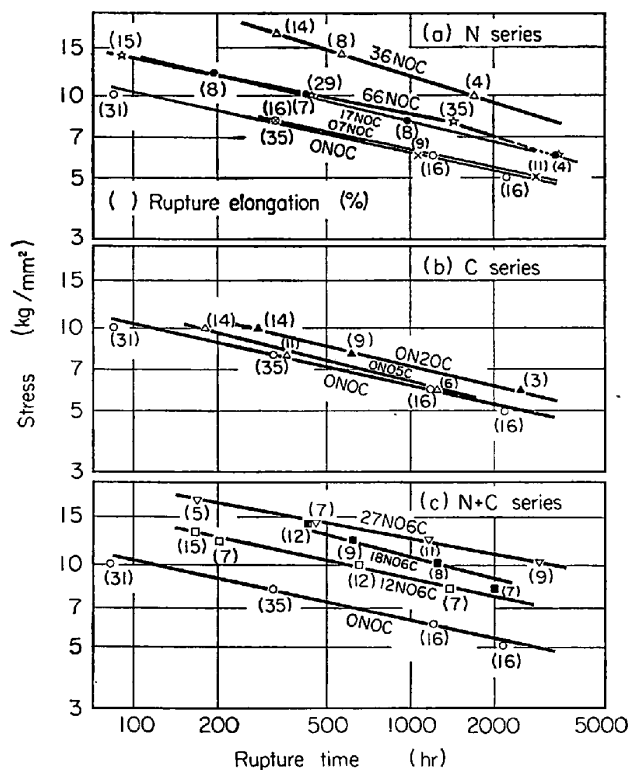


Fig. 2. Stress rupture curves of the 25Cr-20Ni steels at 700°C. (Solution treatment : 1200 °C 1 hr W. Q.)

3.2 クリープ破断試験結果

平行部直径 6 mm の試験片を用いて 700°C および 800°C で約 3000hr 程度までのクリープ破断試験を行なつた。

3.2.1 700°C クリープ破断試験結果

700°C での試験結果を Fig. 2 に示す。同図(a)のN系列の結果では、0.07%程度の少量のNはほとんど破断強度を改善する傾向を示さないが、0.17%Nではかなりの抗クリープ性の増加が認められ、0.36%Nで最高の強度を与える。しかし、0.66%NのようにN量があまり多くなるとかえつて強度は低下し、0.17%Nと同程度となる。

Fig. 2 (b)はC系列の結果で、0.05%程度のCを添加した場合、短時間側の破断強さはやや増加するようにもみえるが、1000hr 付近ではON0Cとほとんど同一の強度を示し、伸びは著しく減少する。0.2%のCを添加したON20Cでは1000hr 破断強度で、ON0Cの6.2 kg/mm²から7.3 kg/mm²へと約1 kg/mm²増加しているが、やはり長時間側での伸びの減少が著しい。

Fig. 2 (c)のN+C系列ではNの増加に伴う破断強さの上昇は顕著であり、1000hr 破断強さは12N06Cで8.6 kg/mm²、18N06Cで10.5 kg/mm²、また27N06Cで12.2 kg/mm²に達する。また長時間側の伸びの減少

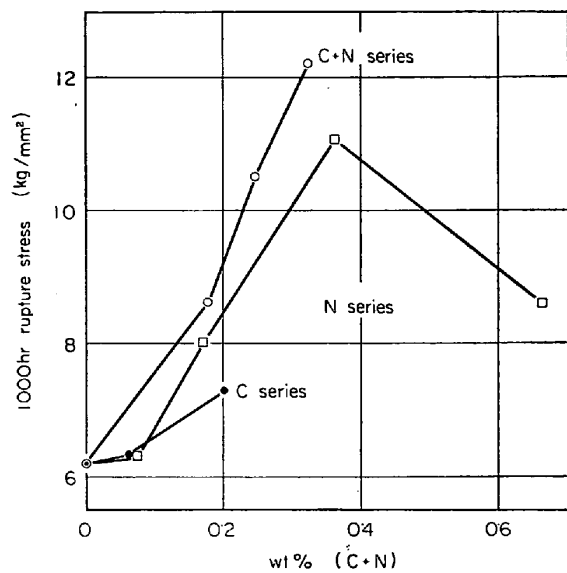


Fig. 3. Effect of carbon and nitrogen contents on 1000hr rupture stress of 25Cr-20Ni steels at 700°C.

も比較的少ない。

以上の各試料の実験結果から 1000hr 破断強さを求めて (C+N) % に対して図示したのが Fig. 3 である。この図から明らかかなように、(C+N)<0.4% の範囲では N に 0.06% 程度の C を組合わせた材料がもつとも強く、ついで N 単独添加材がこれに次ぎ、C のみの添加による強化作用は N にくらべて著しく小さいことがわかる。

以上のほか、上記のクリープ破断試験中の試験片の伸びを 1/100 mm のダイアルゲージを用いて pull rod 間で測定し、最小クリープ速度の概略値を求めて検討した。破断強さの場合とやや異なり、07N0C, 0N05C のような少量の N, C を添加しただけでも、ON0C にくらべてかなりクリープ速度は小さくなるが、概して Fig. 5 の結果とよく対応し、27N06C は実験したすべての試料中もつともクリープ速度が小さい。ただしこの鋼種も低応力長時間側では強化の程度がやや小さくなる傾向が認められた。

2, 3 の試料のクリープ破断後の組織を Photo. 1 に示す。17N0C では粒界に σ 相と思われる粗大な析出物が認められるほか、素地中に少数ながら Cr₂N と考えられる粒子も点在し、ON20C では粒界に Cr₂₃C₆ と思われる炭化物が著しく粗大に析出している。12N06C では粒界の析出物はやや小さく、粒内の析出物はさらに微細であり、27N06C でも析出物量はかなり増加しているが、概して C+N 系列の析出状態は C および N の単独添加材にくらべて著しく微細である。

3.2.2 800°C クリープ破断試験結果

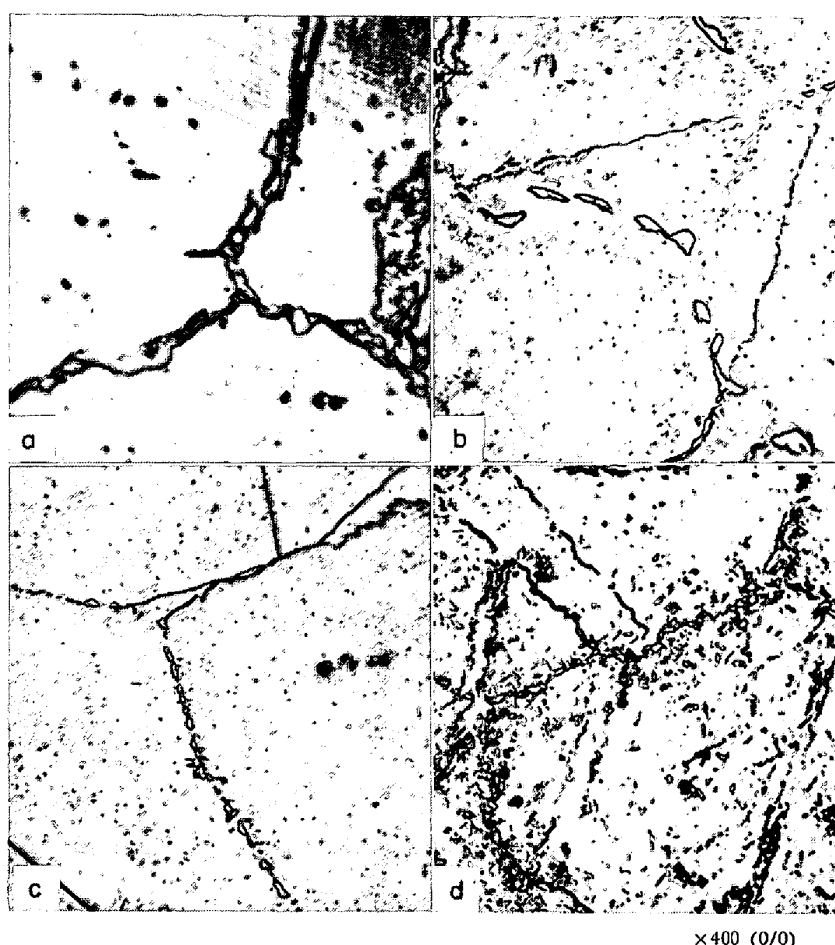


Photo. 1. Microstructures of 25Cr-20Ni steels stress-ruptured at 700°C. (electrolytically etched by 10% oxalic acid)

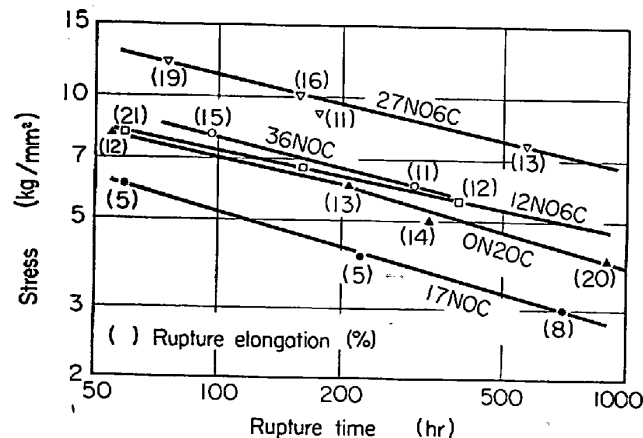


Fig. 4. Stress rupture curves of the 25Cr-20Ni steels at 800°C. (Solution treatment: 1200 °C 1hr W. Q.)

主な試料の 800°C 試験の結果を Fig. 4 に示す。27N06C は 800°C でももつとも強く 1000hr 強度は 6.5 kg / mm²である。N 単独添加材の強度はかなり低く、

17N0C は 1000hr 強度がわずかに 2.5 kg / mm² で ON20C よりも弱く、また 36N0C は 4.4 kg / mm² で ON20C よりわずかに強い程度である。これらの関係は最小クリープ速度の測定結果ともよく対応している。

Table 2 は代表的 5 鋼種について 700°C と 800°C の 1000hr 破断強度を比較したもので、800°C 1000hr 強度(B)と700°C 1000hr 強度(A)との比をとると、C 単独添加および C+N 組合せ添加ではこの比がいずれも 0.5 強となるのに対し、N 単独添加ではかなり低い値となり、高温での強度低下がやや大きいことがわかる。しかし C+N 組合せ添加ではその強度低下が少なく、高温度でもすぐれたクリープ特性を有している。

3.3 高温時効による組織変化

前節で述べたように、N と C を組合せ添加した鋼は 700°C でも 800°C でもかなりすぐれた強度を有するのに対し、N 単独添加では 700°C でこそ N+C 組合せ添加材に近い強さを示すが、800°C では強度低下がやや大きいことを知った。そこで高温強度に対する C と N のこのような効果を組織と関連させて考察するために、700~900°C での単純時効による組織と硬さの変化調べるとともに、電解抽出残渣

の X 線回折による同定、素地オーステナイトの格子定数測定による固溶 N および C 量の推定などを行なった。

700°C と 800°C での時効による硬さの変化を Fig. 5 に、また代表的な組織を Photo. 2 および 3 に示した。時効硬さでは、高 N の 36N0C と 66N0C が両温度とも時効初期に少しく硬化し、その後はあまり変わらず、66N06C ではむしろ少しく軟化の傾向が認められる。その他の試料はいずれも約 2200hr までの時効によつて

Table 2. 1000 hr creep rupture strength (kg/mm²) of the 25 Cr-20 Ni steels.

Mark	700°C (A)	800°C (B)	B/A
17N0C	7.9	2.5	0.32
36N0C	11.1	4.4	0.40
ON20C	7.3	3.8	0.52
12N06C	8.6	4.5	0.52
27N06C	12.2	6.5	0.53

ほとんど硬さの変化がみられないか、あるいは長時間側でわずかな硬化を示すのみである。



Photo. 2. Microstructures of 25Cr-20Ni steels aged for 2187hr at 700°C. (electrolytically etched by 10% oxalic acid)

Table 3 は 700°C で時効した主な試料の 10% 塩酸メタノール溶液による電解残査について行なつたX線回折による同定結果である。17N0C は Photo. 2 (a) のように時効による析出物量は比較的少なく、電解残査では 1000hr で初めて Cr_2N を認めたが、2187hr の組織では σ 相も現われている。66N0C は 1200°C 1 hr の溶体化で未固溶の Cr_2N が残存し、さらに時効処理により Cr_2N が粒界反応的な析出を示すが、長時間後では Photo. 2 (b) のように凝集して粗大化する。高N鋼はこのような析出の速やかな進行により、強化に寄与すべき素地中のNが急速に減少してクリープ速度を早めるとともに、粒界反応部分と未反応部分との境界に空孔が集積しやすく、亀裂発生を促進して第3次クリープへの移行を早め、破断寿命が短くなるものと推測される。しかし、中程度のNを含む 36N0C では Photo. 3 にみると粒界反応も顕著でなく、粒界に連なつた Cr_2N が認められると同時に粒内にもかなり多数の微細な分散析出物が現われ、これらの粒内析出物がオーステナイト中に残存する固溶Nとともにクリープ強度の改善に寄与していると思われる。

0N20C や 20N06C (Photo. 2 (c)(d)) では 66N0C にくらべて析出物の凝集が遅く、とくに N + C 組合せ添加の試料にその傾向が著しい。

Photo. 4 は代表的な抽出レプリカ写真を示したもので、制限視野電子回折により、0N20C の粗大析出物は Cr_{23}C_6 、また 17 N0C では Cr_2N と同定され、残査のX線回折結果と一致した。20N06C では粗大な析出物は Cr_{23}C_6 と同定されたが、そのほかに針状の析出物と、きわめて微細な析出物らしきものが素地中に認められる。前者は行俊⁸が 18-8 Ti 鋼で Cr_3C_2 と報告している針状晶とその形態が似ており、また後者は Cr_2N ではないかと考えられるが、いずれも明瞭な回折パターンが得られず確認できなかつた。

この C + N 組合せ添加材に現われる析出物については、Table 3 に示した 18N06C の残査の同定結果から明らかなように、

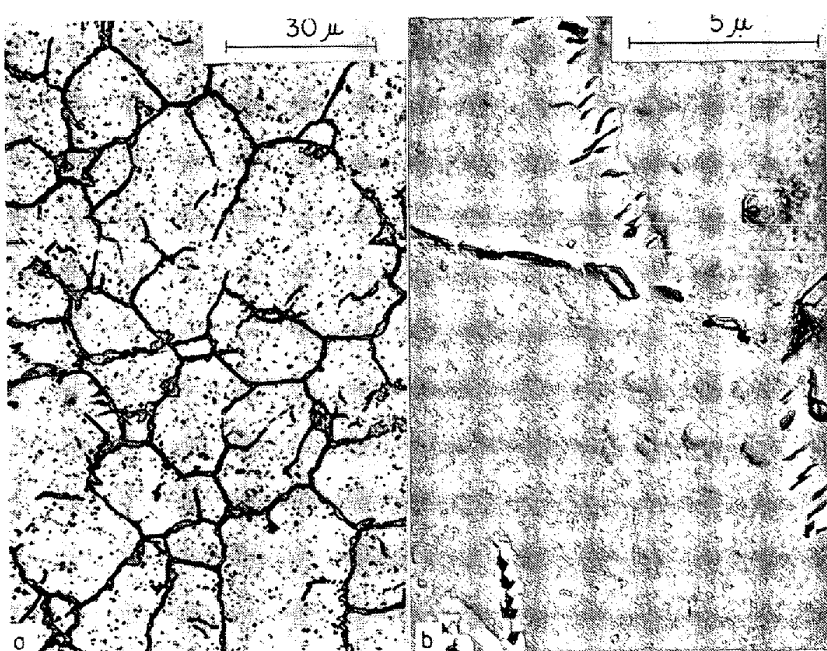


Photo. 3. Microstructure of 36N0C aged for 670hr at 700°C. (electrolytically etched by 10% oxalic acid)

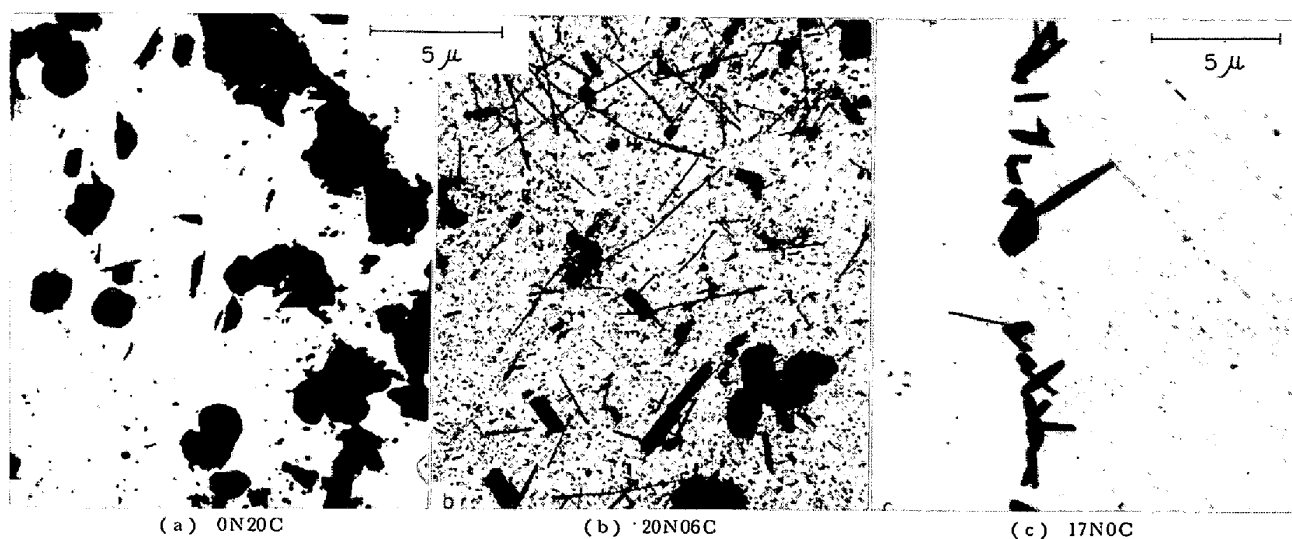


Photo. 4. Electronmicrographs of extraction replica of 25Cr-20Ni steels aged for 2187hr at 700°C.

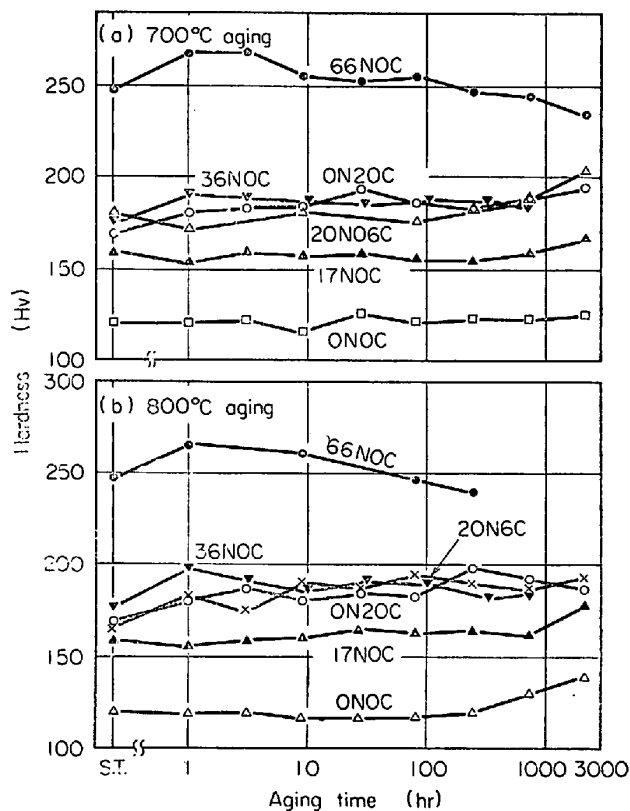


Fig. 5. Hardness changes of 25Cr-20Ni steels due to aging at 700°C and 800°C.

C量よりN量のほうがはるかに多いにもかかわらず、ON20Cと同様 Cr_{23}C_6 型の炭化物のみが検出された。20N06Cの576hrおよび1605hr破断試片について電解残査を同定した結果でも Cr_{23}C_6 のみが認められた。また18N06Cの電解残査を化学分析したところ、C 3.08 wt%, N 1.82 wt%となり、これを原子比にすると C(at%) : N(at%) = 2 : 1となり、残査がすべて Cr_{23}C_6 型炭化物とすればCの約

Table 3. Results of X-ray identification on residues electrolytically extracted from 25 Cr-20 Ni steels aged at 700°C.

Mark	As solution treated	Aging time at 700°C (hr)			
		30	100	300	1000
17N0C	×	—	—	—	Cr_2N
66N0C	Cr_2N	Cr_2N	×	×	Cr_2N
0N20C	—	Cr_{23}C_6	Cr_{23}C_6	Cr_{23}C_6	Cr_{23}C_6
18N06C	×	Cr_{23}C_6	Cr_{23}C_6	Cr_{23}C_6	Cr_{23}C_6

× Not examined.

1/3量がNで置換されていることになる。

MUKHERJEE ら⁹⁾によればCr-Mnステンレス鋼ではCとNの比率および時効温度によって Cr_2N と Cr_{23}C_6 のいずれか1つまたは両方が現われ、とくにC 0.32%とN 0.54%を含む鋼は500~700°C 1000hr時効で Cr_{23}C_6 のみが検出されたと報告しているので、本研究の結果ともよく符合し、 Cr_{23}C_6 中にはかなりの割合でNがCと置換して固溶しうるものと考えられる。

さて、前述のように本鋼の抗クリープ性の大小は析出粒子の凝集粗大化の遅速と密接な関係があることは明らかと思われるが、そのほかにNを含む鋼ではそのNによる固溶強化も考えられる。すなわち、高Cr-Niオーステナイト鋼では、オーステナイト中のCの飽和溶解度は700°C付近で約0.01%程度¹⁰⁾と考えられるのに対し、Nの溶解度は0.1~0.2%と推定される¹⁰⁾。この多量の固溶Nが共存するCrなどとともにクラスターを形成し、いわゆるI-S効果¹¹⁾的な作用によつて抗クリープ性の向上に寄与する可能性が考えられよう。

そこで高温時効による固溶NおよびC量の変化をしら

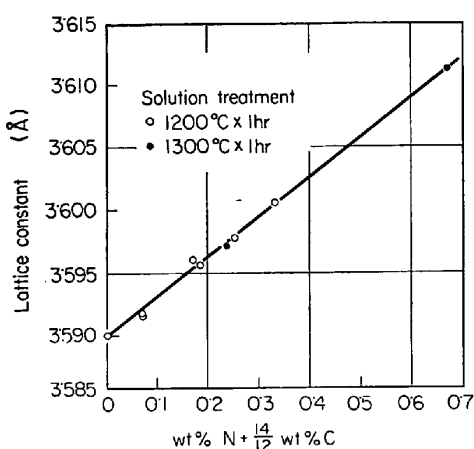


Fig. 6. Influences of nitrogen and carbon contents on lattice constant of austenite in 25Cr-20Ni steel.

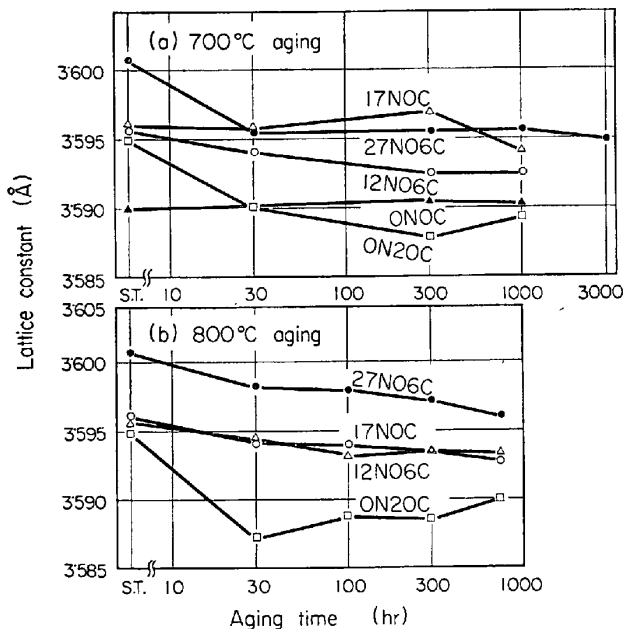


Fig. 7. Changes in lattice parameter of austenite phase due to high-temperature aging of the 25Cr-20Ni steels.

べるために、X線による γ 相の格子定数測定を行なつた。それに先立つて、まず γ の格子定数とNおよびC量との関係を求めるため、1200°Cまたは1300°Cで溶体化した各試料について格子定数を d_{200} ピークによつて算出した。その結果をFig. 6に示す。この図で横軸はNとCのat%に比例する数値として($\text{wt\%N} + 14/12 \cdot \text{wt\%C}$)をとつた。またON20Cと66N0Cは1200°C × 1hrでは溶体化不十分のため1300°C × 1hr溶体化を行なつた。図から明らかなように、 γ 相の格子定数は($\text{wt\%N} + 14/12 \cdot \text{wt\%C}$)に対して直線的に変化するので、任意の時効試料について γ 相の格子定数を求めれば、Fig. 6を用いて γ 相中のCとNの平均的固溶濃度

を推定することができよう。

Fig. 7は4種類の試料について高温時効による γ 相の格子定数の変化を示したものである。700°C時効ではON0Cは時効時間にかかわらずほぼ一定の値を示し、窒化物や炭化物の析出がほとんど起らぬことがわかる。ON20Cは時効初期から格子定数は急減し、700°Cでは300hr、800°Cでは30hrすでに最低値に達しており、その後少しづつ増加の傾向がみられる。しかしこの最低値の格子定数はON0Cより若干小さく、その原因は明らかではないが、700°Cおよび800°Cにおける本鋼のC固溶度はごく少ないと考えてよいであろう。一方17N0Cは700°Cでは300hrまでほとんど変化せず、1000hrで少しづつ急減し、また800°Cでは時効初期から徐々に格子定数を減少するが、両温度とも1000hr付近でなお0.1%程度のNが素地中に残存していると考えられる。12N06Cは両温度とも時効初期から徐々に格子定数が減少し、1000hr付近で3.593Å程度となる。前述のON20Cの結果から25Cr-20Ni鋼 γ 相の700°Cおよび800°CでのC固溶度がごく少なく無視できるものとし、上記3.593Åの値がNのみの固溶によるものとすれば、12N06Cでは両温度とも0.1%程度のNがなお残存することになる。27N06Cではさらに析出がおそく、同じ1000hr付近の時効で0.2%程度のNがなお γ 相中に残存していると推定される。

18N06Cの電解残査の化学分析から、 Cr_{23}C_6 型炭化物中に原子比でCの約1/3がNで置換されると述べたが、この鋼の素材の化学分析値(C 0.061%, N 0.182%)から、前述のようにCの全量が炭化物として析出し、原子比でそのCの1/2量のN($0.061 \times 14/12 \times 1/2 = 0.036\%$ N)が炭化物中に入るとすれば、 γ 相中におよそ残存するN量は($0.182 - 0.036 = 0.146\%$ N)となる。この18N06Cについては格子定数測定を行なつていなかるが、12N06Cと27N06Cの中間程度の値を示すものとすれば、Fig. 7で800°Cと700°Cの両温度とも1000hr程度の時効で3.594~3.595Å、Fig. 6によりN量に換算して0.15%付近となり、前述の0.146%とよく一致する。また堀らが0.15%および0.13%のNを含む25Cr-20Ni鉄鋼の871°C 2000hr時効試料から電解抽出した残査の分析結果¹²⁾から計算しても、それぞれ0.13および0.12%のNが γ 相中に残存することになり、筆者らの推定値と同程度の値である。

もちろん残査のX線回折で Cr_{23}C_6 のみが確認されたとしても、 Cr_2N その他の析出物が皆無とは断言できず、したがつて上記の計算はいずれもかなり不正確なものではあるが、格子定数の測定結果と考えあわせれば、

700~800°Cにおいて γ 相中に0.1~0.2%程度のNが固溶できるものとして大きな間違いはないものと考えられる。

4. 考察

25Cr-20Ni鋼に適量のNを単独添加すると、Cの単独添加にくらべて700°Cでのクリープ破断強度を著しく高めること、およびCとNとを組合せ添加するとそのクリープ強度改善の効果はいつそう顕著になることを明らかにした。

そこでまず、Nの単独添加による強化の原因について簡単に考察してみよう。

高温における金属材料の強化機構として主要なものは析出物による分散強化と、固溶強化の2つが挙げられる。N単独添加試料の組織観察から、Cr₂Nが比較的容易に析出凝集して粗大化することが認められた。透過電顕観察により微細組織を十分検討しなければ断言はできないが、少なくとも光顕およびレプリカの電顕による観察から、N単独添加では析出物は粗大化しやすく、したがつて窒化物による分散強化はあまり問題とはならないようと考えられる。一方、 γ 相格子定数の変化などからこの鋼種の γ 相は700°Cあるいは800°Cにおいて0.1~0.2%程度のN固溶度を有することが推論された。この固溶NはCrやMnに対してかなりの化学親和力を有し、固溶体中につつても転位の周辺にNとCrあるいはMnとのクラスターが形成されて転位の運動を妨げる、いわゆるI-S効果¹¹⁾的な作用による強化が考えられる。また他方、Nは γ 相中に固溶して積層欠陥エネルギーを低下させる元素とされている¹²⁾のでいわゆる鈴木効果¹³⁾による強化もかなりの寄与をなすと考えられる。すなわちN単独添加による強化は主としてCrやMnとともに働くI-S効果的な作用と、鈴木効果の2つに帰せられよう。

NとCの組合せ添加の場合、格子定数測定の結果から、Cの共存によって γ へのN固溶量が減少する傾向はとくに認められず、したがつてこの場合も前述のI-S効果的作用と、鈴木効果とが有力な強化機構となつているであろう。また組織観察から、N、C共存の場合は炭化物Cr₂₃C₆の析出凝集がかなり遅れ、その炭化物による分散強化も加わつてすぐれた高温強度をもたらすものと推察される。

5. 結論

25Cr-20Ni耐熱鋼について、N単独添加、C単独添加およびN+C組合せ添加による高温クリープ破断特性

と組織の変化を調べ、NとCによる強化機構について若干の検討を行なつた。その結果はつきのように要約される。

(1) Nは約0.36%までの添加で700°Cクリープ破断強度を著しく改善するが、それ以上の添加ではCr₂Nの粒界反応型析出を生じて高温強度はかえつて低下する。800°CではNによる強化作用は非常に小さくなる。

(2) Cによる強化は700°CではNにはるかにおよばないが、800°CではNより強化作用がやや強い。

(3) 0.06%程度のCと0.27%までのNを組合せ添加するとNの単独添加以上にクリープ破断強度が増加し、しかもその強化作用は800°Cでもなお顕著である。

(4) 700°Cおよび800°Cでの時効試料中の析出物はN単独添加では主としてCr₂N、C単独添加およびC+N組合せ添加では主としてCr₂₃C₆型炭化物である。とくにC+N添加材のCr₂₃C₆型炭化物中には原子比でCの約1/3量がNにより置換されるものようである。

(5) 溶体化処理した試料の γ 相の格子定数と、鋼の(wt%N+14/12·wt%C)値との間には直線関係があり、時効試料の格子定数測定により、 γ 相中に固溶しているCおよびN量をおよそ推定することができる。

(6) その結果、ON20Cでは700°Cおよび800°CでほとんどすべてのCが炭化物として析出するのに対し17N0Cおよび12N06Cでは700°Cおよび800°Cで約1000hr程度の時効では約0.1%，また27N06Cでは約0.2%程度のNがなお γ 相中に固溶残存しているものと推定された。

(7) N単独添加による強化の原因是、この固溶NによるI-S効果的な作用ならびに鈴木効果が主であり、またN+C組合せ添加材ではさらに炭化物の析出凝集がNの共存によって遅れるのでその炭化物による分散強化も寄与しているものと考えられる。

終りに化学分析についてご援助いただきました日本冶金工業(株)川崎製造所の方々に厚く御礼申し上げます。

文獻

- 岡本、田中、藤本、内藤：鉄と鋼、48(1962)2, p. 123
- 岡本、田中、藤本：鉄と鋼、49(1963)12, p. 1802; 3, p. 613
- 岡本、田中、深海：鉄と鋼、49(1963)10, p. 1565
- 田中、篠田：鉄と鋼、51(1965)11, p. 2123; p. 2125
- J. I. MORLEY and H. W. KIRKBY: J. Iron Steel

- Inst., 172 (1952) 2, p. 129
 6) G. F. TISINAI, J. K. STANLEY and G. H. SAMANS: J. Metals, 6 (1954) 11, p. 1259
 7) 熊田: 日本金属学会講演概要, (1960), 10月, p. 63
 8) 行俊: 学振耐熱金属材料第123委研究報告, 8 (1967) 1, p. 17
 9) R. O. STEINER and P. S. TROZZO: Metal Prog., 72 (1957) 1, p. 108
 10) 岡本, 田中, 藤本: 学振耐熱金属材料第123委研究報告, 3 (1962) 1, p. 1
 11) 門間, 須藤ほか: 日本金属学会誌, 29 (1965) 2, p. 191; 10, p. 941; 30 (1966) 6, p. 558
 12) 堀, 斎藤, 西山: 学振耐熱金属材料第123委研究報告, 8 (1967) 3, p. 529
 13) P. M. KELLY and J. NUTTING: in "High-Strength Steels", ISI Sp. Rep. No. 76 (1962), p. 7
 14) H. SUZUKI: Dislocations and mechanical properties of crystals, (1957), p. 361, [Wiley]

シャルピー衝撃試験における荷重-時間、荷重-変位曲線の観察*

三好 滋**・高井耕一**・小林俊郎**

Observations on the Load-Time and Load-Deflection Curves in Charpy Impact Test

Shigeru MIYOSHI, Kōichi TAKAI and Toshirō KOBAYASHI

Synopsis:

Relationships between load-time and load-deflection curves during impact in Charpy impact test have been simultaneously observed on a reactor pressure vessel steel plate, a low carbon Al-killed grain-refined steel.

A precision wire wound variable resistance is used for deflection detecting element, and satisfactory result on the resolution of deflection is obtained.

Observed load-deflection curves are similar to load-time curves at each testing temperature. Absorbed energy from area under the load-deflection curve is rather smaller than the one from indicator of tester.

The result that the time axis of the load-time curves can convert linearly to the deflection axis is obtained from analysis of deflection-time curves which are composed of both curves.

(Received 12 Dec. 1967)

1. 緒 言

従来より、シャルピー衝撃試験時における衝撃時の荷重-時間曲線を観測、解析することが多く報告され^{1)~5)}これにより、破断過程と遷移現象との相関をかなり明確にとらえることができるようになった。

しかし、試片の変形状況を詳細に知るためには、直接、荷重-変位曲線をも観測、解析することが必要であろう。著者らは、従来報告されている変位測定法とは異なる方法を確立し、本試験において、荷重-時間、荷重-変位曲線を同時観測し、これらの差異などについて、いくつかの知見を得たので報告する。

2. 実験方法

2.1 供試材

原子炉圧力容器用低炭素アルミキルド細粒鋼板 (0.12

%C) より標準 2 mmV ノッチシャルピー試片を採取した。

2.2 荷重および変位測定系

荷重、変位測定系は、Fig. 1 のブロックダイヤグラムに示すように構成した。シャルピー試験時の動荷重測定は、従来より数多く試みられている。本実験においてはハンマー部にスリットを切込み半導体ストレンゲージを貼付けてロードセルとしたものを使用しており、田中、布村らの方法⁵⁾に準拠している。

一方、衝撃時に試験片の変位を直接測定することはこれまで行なわれておらず、間接的に振子の運動をとらえているのみである。すなわち、従来の方法は、振子が一定の光束を切つてゆく過程を光電管やフォトトランジス

* 昭和42年10月本会講演大会にて発表

昭和42年12月12日受付

** 富士電機(株)中央研究所